

알콕사이드로 부터 Sialon-SiC 계 복합분말의 합성과 분말특성(I)

전명철 · 이홍립

연세대학교 요업공학과

(1989년 12월 19일 접수)

Synthesis of Sialon-SiC Composite Powder from Alkoxides and the Powder Properties(I)

Myong-Chuel Chun and Hong-Lim Lee

Dept. of Ceramic Engineering Yonsei University

(Received December 19, 1989)

요약

Si(O₂C₂H₅)₄, Al(i-OC₃H₇)₃ 및 carbon black 을 출발물질로 하여 가수분해법을 이용 Si-Al-OH-C 계 공침물을 제조한 다음 이것을 전조하고 1350°C에서 10시간 동안 질소와 수소의 혼합분위기중에서 탄소열환원법을 통하여 Sialon-SiC 계 복합분말을 합성하였다. 합성된 Sialon-SiC 계 복합분말의 분말특성을 XRD, SEM, TEM, BET, 입도분석 등을 적용하여 연구하였다.

질소: 수소의 비율이 50:50에서 가장 미세하고 균일한 분말이 합성되었으며 이때의 평균 입자크기는 0.13μm 그리고 비표면적은 20.1m²/g 이었다.

ABSTRACT

Fine Si-Al-OH-C coprecipitate powders were prepared from Si(O₂C₂H₅)₄, Al(i-OC₃H₇)₃, and carbon black by a hydrolysis method before fabrication of Sialon-SiC composite powder by carbothermal reduction at 1350°C for 10h under N₂/H₂ mixed atmospheres.

The characterization of the synthesized Sialon-SiC composite powders was performed using XRD, BET, SEM, TEM and particle size analysis methods. The average particle size and specific surface area of the synthesized Sialon-SiC composite powder were 0.13μm and 20.1m²/g, respectively when Z=1 and N₂: H₂=50:50.

1. 서 론

Sialon, Si₃N₄ 그리고 SiC 등은 우수한 열충격 저항성과 뛰어난 기계적 물성을 가지고 있는 세라믹 재료로서 세라믹엔진 부품과 열기판 등에의 이용에 좋은 재료로 알려져 있으며 특히 세라믹엔진을 실용화하기 위하여 많은 연구가 진행되어 왔다.

Si-Al-O-N 계 세라믹스는 간단히 Sialon(Si_{6-z}Al_zO₂N_{8-z})이라고 불리우며 1970년대 초에 Jack¹⁾에 의해 발견된 이후로 Sialon은 열충격 저항성, 산화저항성 및 용융금속에 대한 안정성이 우수하고 1700~1800°C의 온도에서 소결함으로써 쉽게 이론밀도에 도달할 수 있으므로

Si_3N_4 의 대체재료로서 많은 연구가 진행되어 있다²⁾. 그러나 조성자체에서 갖는 다양한의 액상으로 인해 고온에서의 강도가 Si_3N_4 에 비해 다소 떨어진다는 취약점이 있다^{3,4)}.

공유결합성이 높은 SiC는 화학적, 열적으로 매우 안정하여 우수한 고온강도를 가진다. 또 높은 열전도율과 전기절연성을 가지며, HCl, HNO_3 , H_2SO_4 , HF 등의 산과 NaOH 등의 알칼리 수용액에 침식되지 않는다. 그리고 신모오스 경도 13으로 다이아몬드, B_4C 다음으로 경도가 크다. 그러나 SiC의 경우 강한 공유결합성으로 인해 2000°C 이상의 고온에서 소결해야만이 이론밀도에 도달할 수 있다는 소결상의 어려움이 있다²⁾.

근래에는 SiC의 입장에서는 소결온도를 낮추고 Si_3N_4 와 Sialon의 입장에서는 열전도성 및 고온강도를 향상시키는 이점이 기대되는 $\text{Si}_3\text{N}_4-\text{SiC}$, Sialon-SiC의 복합체에 관한 시험적 연구결과들이 보고되고 있다. Lange⁵⁾ 등은 Si_3N_4 분밀에 5wt% MgO와 0.1–0.4 부피분율의 SiC분밀을 첨가해서 가압소결하여 고온강도 및 열전도성이 향상된 $\text{Si}_3\text{N}_4-\text{SiC}$ 소결체를 얻었으며, 그 밖에도 Si_3N_4 와 SiO_2 분밀에 SiC를 첨가하여 가압소결시키는 방법⁶⁾, $\text{Si}(\text{NH}_2)_2$ 와 탄소분말의 혼합물의 가열처리물에 용융Si를 함침시키고, 이것을 탄화시켜 반응소결시키는 방법⁷⁾, $\text{Si}_3\text{N}_4-\text{Si}$ 계 분밀과 Si_3N_4 분밀을 골격으로 여기에 유기구소 폴리머를 함침시켜, 주로 유기구소 폴리머를 탄화규소화하는 방법 등도 책택되고 있다⁸⁾. 또한 최근에는 $\alpha-\text{Si}_3\text{N}_4$, AlN, $\alpha-\text{Al}_2\text{O}_3$ 분밀을 Z=1의 Sialon($\text{Si}_{6-z}\text{Al}_z\text{O}_z\text{N}_{8-z}$)이 되도록 혼합하고 동시에 50wt%의 SiC분밀을 같이 혼합하여 1800°C 이상의 고온에서 가스가압소결하여 Sialon-SiC 복합소결체를 제조하는 실험결과가 보고되고 있다^{9,10)}.

본 연구에서는 Sialon-SiC의 복합소결체 제조를 위하여 그 전단계로서 Sialon과 SiC분밀의 여러 제조방법 중 공통되는 탄소 환원법을 적용하여 먼저 Sialon-SiC 복합분밀을 제조하고자 하였다^{11–13)}. 실험은 과도한 입자성장과 불순물에 의한 고온강도 저하오인을 배제하고 고순도의 미세한 분밀을 얻기위하여 금속알록사이드를 이용한 졸-겔법을 사용하였다¹⁴⁾. Si와 Al의 공급원으로서는 Tetraethylorthosilicate[$\text{Si}(\text{OC}_2\text{H}_5)_4$: TEOS]와 Aluminum iso-propoxide[$\text{Al}(\text{i}-\text{OC}_3\text{H}_7)_3$]를 사용하였고 이를 알록사이드를 혼합가수분해한 후 환원제로서 carbon black을 혼합하였다. 그 후 Sialon기지 내에 존재하는 SiC의 존재량을 정량적으로 조절하기 위하여 질소, 수소

단독 분위기 및 질소/수소 혼합 분위기 하에서 환원탄화질화반응을 시켜서 1350°C에서 Sialon-SiC 복합분밀을 제조하였다. 합성한 Sialon-SiC분밀에 대하여 XRD, BET, SEM, TEM 그리고 입도분석 등을 통하여 분말특성을 연구하였다.

2. 실험방법

본 연구에서 수행한 전체 실험공정을 Fig 1에 나타내었다. $\text{Si}-\text{OH}-\text{C}$ 계 분밀을 합성하기 위하여 Fig.2와 같은 장치를 사용하여 $\text{Si}(\text{OC}_2\text{H}_5)_4$ 와 ethylalcohol을 부피비로 1:1정도로 혼합한 다음 자력교반기를 이용하여 30분간 균질하게 혼합하였다. 교반되고 있는 용기내의 환원제인 carbon black을 C/SiO₂=5mole비 이상의 과잉으로 침가한 뒤 온도를 80°C로 승온시켜 그 온도에서 4시간 이상 환류(refluxing) 시켰으며 그 후 NH_4OH 를 이용하여 pH 11로 보정한 중류수를 10ml/min의 속도로 적하시켜 가수분해를 하였다. 이때 가수분해 온도는 80°C를 유지하였으며 중류수 침가 후 4시간 동안 반응물을 계속 고반하여 주었고 다시 상온에서 24시간 유지한 후에 110–120°C에서 24시간 건조시켜 비정질의 $\text{Si}-\text{OH}$ 계 수화물과 환원제인 carbon black이 균일하게 혼합된 분밀을 제조하였다.

$\text{Si}-\text{Al}-\text{OH}-\text{C}$ 계의 경우에는 먼저 $\text{Al}(\text{i}-\text{OC}_3\text{H}_7)_3$ 를 벤젠에 용해시키고 β -Sialon의 일반식 $\text{Si}_{6-z}\text{Al}_z\text{O}_z\text{N}_{8-z}$ 의 Z 값이 0.5(Si/Al=11), 1(Si/Al=5), 2(Si/Al=2),

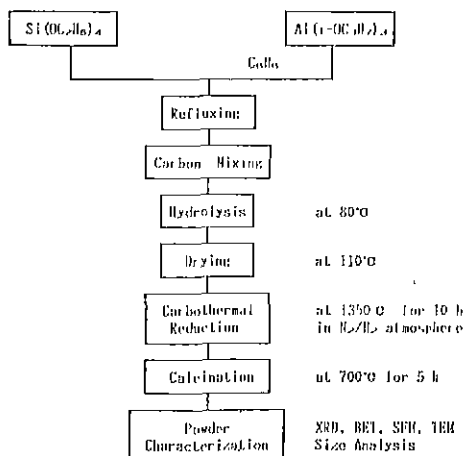


Fig.1. Schematic Diagram of Experimental Procedure.

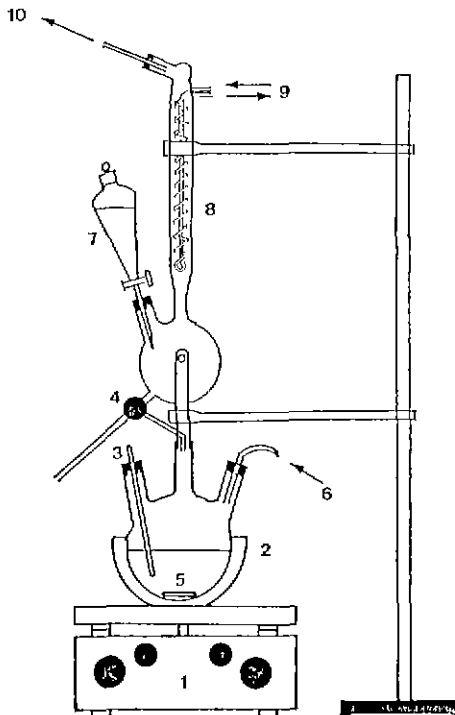


Fig. 2. Apparatus for hydrolysis

1. magnetic stirrer 2. heating mantle 3. thermocouple 4. three way cock 5. magnetic bar 6. N_2 gas inlet 7. dropping funnel 8. reflux condenser 9. cooling water 10. N_2 gas outlet

$3(Si/Al=1)$ 이 되도록 $Si(OC_2H_5)_4$ 를 혼합한 다음 4시간 동안 환류시켜 precomplexing¹⁵⁾ 하였다. 여기에 환원제인 carbon black을 $C/SiO_2=5$ mole 비 이상의 과잉량으로 첨가한 후 2시간동안 교반하여 균질하게 섞어주었다. 그 후 가수분해를 행하였으며 이때의 가수분해 조건은 위에서 설명한 $Si-OH-C$ 계의 경우와 동일하다.

합성된 $Si-OH-C$ 계와 $Si-Al-OH-C$ 계 가수분해물을 siliconit 밀연체를 사용한 관상로를 이용하여 $1350^\circ C$ 에서 10시간을 기준으로 $N_2 : H_2$ 의 비율을 $100 : 0, 80, 20, 50, 50, 20, 80, 0 : 100$ 이 되도록 조절하여 환원탄화 질화 반응을 행하였으며, 사용되는 질소와 수소의 혼합기체는 수분을 제거한 후 신속 $0.6cm/sec$ 의 속도로 흘려주었다¹⁶⁾. 이 실험에서 적용한 질소/수소 혼합기체를 이용한 Sialon-SiC 계 복합분말을 합성하는 원리는 Lee 등이 연구한 결과¹⁷⁾에 따라 탄소열환원법에 있어 질소/수소의

혼합비를 조절함으로써 Si_3N_4/SiC 의 생성비, 즉 질화반응과 탄화반응을 임의로 조절할 수 있음을 이용한 것이다.

환원탄화 반응을 마친 Sialon-SiC 계의 복합분말은 남아있는 과잉의 carbon black을 제거하기 위하여 공기중 $700^\circ C$ 에서 5시간 동안 하스하였다.

합성된 Sialon-SiC 복합분말에 대하여 분밀합성 과정에서의 뉴위기 (N_2/H_2)의 변화와 Si/Al 비의 변화에 따른 분밀특성을 X-선 회절분석, 비표면적측정(BET), 주사전자현미경, 투과전자현미경, 입도분석 등의 측정기술을 이용하여 분석하였다. 또한 X-선 정량분석은 내부표준물질로 $NaCl$ 10wt%를 사용하고 고순도의 $\beta-SiC$ (이비텐사), $\beta-Si_3N_4$ (Soekawa Chemical Co.)를 사용하여 $\beta-SiC(111)$, $\beta-Si_3N_4(210)$ 등의 회절선에 대한 비교치로서 반응생성물을 성량하였다¹⁸⁾. 이때 표준시료인 $\beta-Si_3N_4$ 와 $\beta-SiC$ 간의 혼합비율은 5wt%단위로 변화시켰다.

3. 결과 및 고찰

Fig. 3의 $N_2 : H_2 = 100 : 0$ 일 때 즉, 질소분위기 하에서 Si/Al mole비를 $\infty, 11, 5, 1$ (이)때 β -Sialon의 일반식 $Si_{6-z}Al_zO_{4z}N_{8-z}$ 의 Z 값이 각각 0, 0.5, 1, 3이 되므로 이

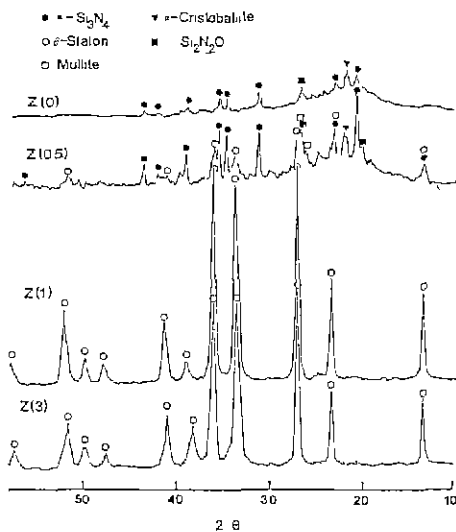


Fig. 3. X-ray diffraction patterns of the $Si_{6-x}Al_xO_{4z}N_{8-x}$ powders synthesized by carbothermal reduction at $1350^\circ C$ for 10h under N_2 atmosphere.

하 각각 Z(0), Z(0.5), Z(1), Z(3)으로 표시)로 변화시키 1350°C에서 10시간 동안 탄소열환원질화반응시켜 합성한 분말에 대한 X선 화학분석 결과를 나타내었다. 출발물질에 SiO_2 만이 존재하는 Z(0)와 소량의 Al_2O_3 성분이 존재하는 Z(0.5)의 경우 $\alpha-\text{Si}_3\text{N}_4$ 및 $\beta-\text{Sialon}$ 등의 결정상 peak가 나타나고 있지만 저각도(low angle)부근에서 보여지는 비정질상의 peak로 판단할 때 본 실험조건 하에서는 완전한 환원질화반응이 완료되지 않았다고 생각된다. 그러나 Z(1)과 Z(3)의 경우에는 완전한 $\beta-\text{Sialon}$ 이 합성되었으며 Al_2O_3 의 함량이 보다 많은 Z(3)의 경우 그 peak들이 저각도쪽으로 상당히 이동한 것을 볼 수 있다. 이것은 $\beta-\text{Sialon}$ 의 경우 Al_2O_3 성분이 Si_3N_4 결정 격자내의 Si와 N의 위치에 Al과 O가 치환고용됨으로 인한 격자상수의 증가때문이다. Fig.3에 나타난 결정상들에 대한 상분석 결과를 Table 1에 나타내었다. Z(0)의 경우 결정상으로는 $\alpha-\text{Si}_3\text{N}_4$, $\text{Si}_2\text{N}_2\text{O}$, $\alpha-\text{Cristoballite}$ 가 나타났으며 많은 양의 미반응 비정질상이 검출되었다.

Z(0.5)의 경우 주로 $\beta-\text{Sialon}$ 과 $\alpha-\text{Si}_3\text{N}_4$ 가 혼개된 결정상을 보였고 미량의 결정상으로서 $\text{Si}_2\text{N}_2\text{O}$, $\alpha-\text{Cristoballite}$, mullite상이 생성되었고 Z(0)와 마찬가지로 약간의 미반응 비정질상이 검출되었다. 이들 Z(0)와 Z(0.5)에서 $\beta-\text{Sialon}$ 과 $\alpha-\text{Si}_3\text{N}_4$ 이외에 나타난 SiO_2 , $\text{Si}_2\text{N}_2\text{O}$, mullite 등은 질화과정에서 생성되는 과도적인 결정상으로 생각된다. Z값이 1이상인 경우들에서는 주 결정상으로 $\beta-\text{Sialon}$ 이 생성되었으며 그 이외의 상은 거의 검출되지 않아 질화반응이 거의 완료되었음을 알 수 있다. 질화반응이 완료되지 않은 Z(0)의 경우도 동일한 실험조건에서 반응시간만을 20시간까지 연장시킨 결과 단일상의 $\alpha-\text{Si}_3\text{N}_4$ peak가 완전히 성장하였음을 볼 수 있다 (Fig.4).

Table 1 Phase Constituents of Powders Synthesized by Carbothermal Reduction at 1350°C for 10 h under $\text{N}_2/\text{H}_2=100/0$ Atmosphere

Z	Major Phase	Minor Phase
Z(0)	$\alpha-\text{Si}_3\text{N}_4$, amorphous SiO_2	$\text{Si}_2\text{N}_2\text{O}$, $\alpha-\text{Cristoballite}$
Z(0.5)	$\beta-\text{Sialon}$, $\alpha-\text{Si}_3\text{N}_4$	$\text{Si}_2\text{N}_2\text{O}$, $\alpha-\text{Cristoballite}$ Mullite, amorphous SiO_2
Z(1)	$\beta-\text{Sialon}$	—
Z(2)	$\beta-\text{Sialon}$	—
Z(3)	$\beta-\text{Sialon}$	—

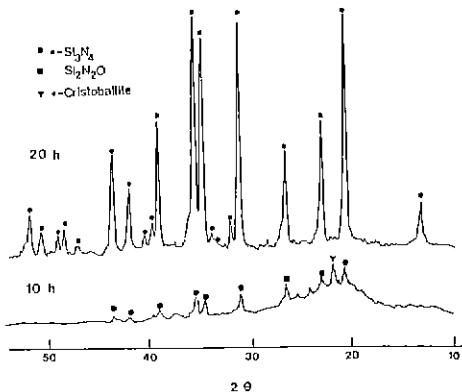
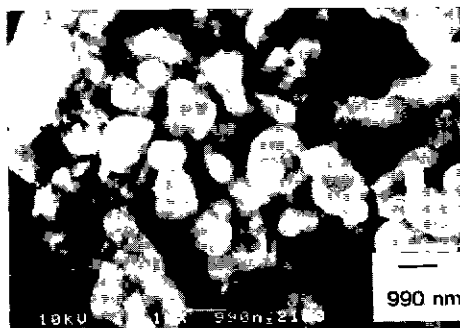
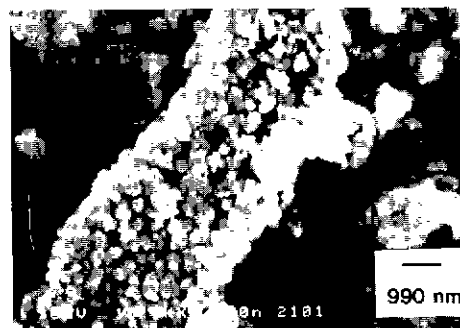


Fig.4. X-ray diffraction patterns of the $\alpha-\text{Si}_3\text{N}_4$ powders synthesized by carbothermal reduction at 1350°C for 10h and 20h under N_2 atmosphere.



(a)



(b)

Fig.5. Scanning electron microscopic photographs of the $\alpha-\text{Si}_3\text{N}_4$ and $\beta-\text{Sialon}$ ($\text{Si}/\text{Al}=5$ mole ratio) synthesized by carbothermal reduction at 1350°C for 20h and 10h respectively under N_2 atmosphere.

(a) $\alpha-\text{Si}_3\text{N}_4$, (b) $\beta-\text{Sialon}$ ($\text{Si}/\text{Al}=5$ mole ratio)

Fig.5은 20시간 동안 환원질화반응 시킨 Z(0), α -Si₃N₄ 분밀과 같은 실험조건에서 10시간 반응시켜 반응이 완료된 Z(1), β -Sialon 분밀을 주사전자현미경으로 관찰한 것이다. 그림에 나타난 것처럼 Fig.5(a) α -Si₃N₄의 경우 입자크기가 거의 1 μm 에 접근하고 있으나 (b) β -Sialon의 경우는 0.2~0.3 μm 의 미세하고 균일한 입자크기를 가지고 있음을 알 수 있다. 이것으로 부터 판단할 때 이상적인 세라믹분밀의 조건 중 입자크기의 측면에서는 β -Sialon을 합성하는 것이 유리하다고 생각된다.

Fig.6은 N₂:H₂=0:100, 즉 수소분위기에서 1350°C로 10시간 동안 환원탄화반응시켜 합성한 분밀들에 대한 X선 회절분석 결과이다. Al₂O₃성분이 없는 Z(0)의 경우 입방정체의 구조를 갖는 β -SiC와 소량의 육방정체 2H-SiC의 peak가 명확하게 나타나고 있으나 10~30°의 저각도(low angle) 부근에 여전히 비정질 SiO₂가 남아있는 것으로 판단할 때 반응이 완결되지 않았다고 생각된다. Z(0)에서 Z(3)으로 갈수록, 즉 출발원료분밀을 구성하는 Al₂O₃량이 상대적으로 많아질수록 Al₂O₃의 peak가 신명해지는 것을 볼 수 있으며 Z(3)의 경우 SiC와 Al₂O₃의 peak가 완전히 분리생성됨을 볼 수 있다.

Fig.6에 나타난 결정상들에 대한 상분석 결과를 Table 2에 나타내었다. Z(0)의 경우 주결정상으로서 SiC가 생성되었으며, 미반응으로 인한 비정질 SiO₂가 존재하였다. Z(0.5)의 경우 주결정상으로서 SiC가 나타났으며, 소량

Table 2. Phase Constituents of the Powders Synthesized by Carbothermal Reduction at 1350°C for 10h under N₂/H₂=0/100 Atmosphere.

Z	Major Phase	Minor Phase
Z(0)	SiC	Non-crystalline SiO ₂
Z(0.5)	SiC	α -Al ₂ O ₃ , δ -Al ₂ O ₃
Z(1)	SiC	δ -Al ₂ O ₃ , Mullite, α -Al ₂ O ₃
Z(2)	SiC	δ -Al ₂ O ₃ , Mullite, α -Al ₂ O ₃
Z(3)	SiC, α -Al ₂ O ₃ , δ -Al ₂ O ₃	—

의 α -Al₂O₃와 δ -Al₂O₃가 생성되었고 미량의 mullite의 자취가 검출되었다. Z(1)의 경우 주결정상으로서 SiC가 나타났으며 소량의 α -Al₂O₃와 δ -Al₂O₃가 생성되었고 Z(0.5)에서는 자취로만 검출되던 mullite의 peak가 뚜렷하게 생성되었다. Z(2)의 경우도 Z(1)과 동일한 상구성을 보였으나 Z(1)에 비해 mullite의 생성량이 더욱 많아졌음을 볼 수 있다. Z(3)의 경우 결정상으로써 SiC, 그리고 α -Al₂O₃와 δ -Al₂O₃만이 존재하여 mullite는 존재하지 않았다. 또한 Z(3)의 경우 SiC와 Al₂O₃의 peak가 완전히 분리 생성됨을 볼 수 있다. 이로 부터 판단할 때 1350°C 10시간이라는 반응조건 하에서 Al₂O₃성분은 SiC의 결정구조 내로 거의 고용되지 않음을 알 수 있으며 이는 SiC에 대한 Al₂O₃의 고용한계는 2200°C에서 최대 1.0 wt%이며, 이 고용한계는 2000°C에서 0.5wt%, 1800°C에서는 0.26wt%로 급격히 줄어든다고 보고한 Kingery 등의 연구결과들과 잘 일치한다^[19~21]. 또한 본 연구에서 행한 실험조건이 1350°C, 10시간임에도 불구하고 수화 Al₂O₃가 완전히 α -Al₂O₃로 전이되지 않고 많은 양의 전이 Al₂O₃(δ -phase)로 유지되고 있다는 것도 특이한 현상이라 하겠다. 이점에 대해서는 초기적인 연구가 행하여져야 할 것으로 생각된다.

Fig.7은 N₂:H₂=50:50의 분위기 하에서 1350°C, 10시간의 조건에서 환원탄화질화반응시켜 합성한 분밀들에 대한 X선 회절분석 결과이다. 출발원료에 Al₂O₃가 존재하지 않는 Z(0)의 경우 SiC의 peak만이 존재하지만 Al₂O₃가 소량첨가된 Z(0.5)의 경우에는 β -Sialon의 peak가 명확하게 나타남으로써 상당량의 β -Sialon이 존재한다는 것을 알 수 있으며 동시에 Al₂O₃성분이 질화반응을

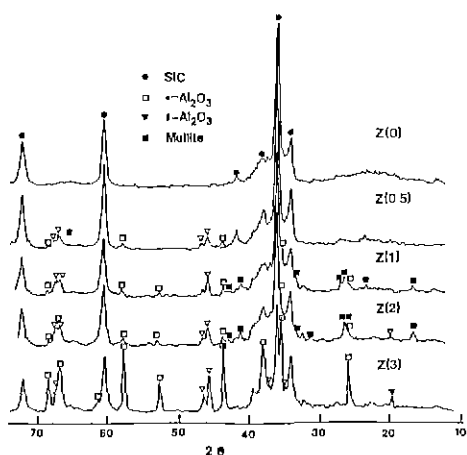


Fig.6. X-ray diffraction patterns of the SiC-Al₂O₃ composite powders synthesized by carbothermal reduction at 1350°C for 10h under H₂ atmosphere.

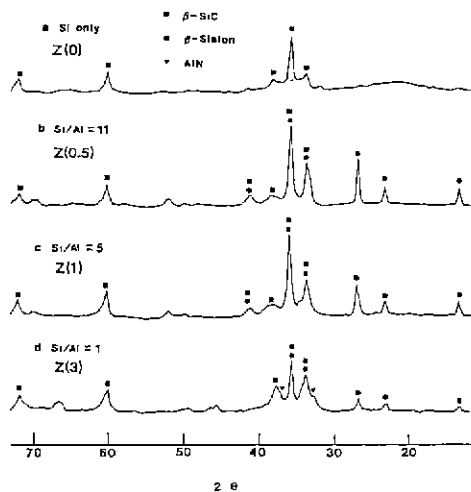


Fig. 7. X-ray diffraction patterns of the Sialon-SiC (Si/Al mole ratio variation) composite powders synthesized by carbothermal reduction at 1350°C for 10h under $N_2/H_2=50/50$ atmosphere.

측진시킨다는 것을 알 수 있다. 또한 Al_2O_3 성분이 가장 많은 $Z(3)$ 의 경우 SiC , β -Sialon 이외에 AlN 의 peak가 존재함을 볼 수 있는데 이는 최초에 의도된 β -Sialon ($Si_{6-2}Al_2O_2N_{5-2}$)의 Z 값($Z=3$)에서 출발분밀증의 SiO_2 가 본 실험의 반응조건하에서 우선적으로 SiC 를 생성함에 따라 SiO_2 에 대한 상대적인 Al_2O_3 의 양의 증가, 즉 Z 값의 증가로 인해 β -Sialon의 Al_2O_3 고용한계선인 $Z=4.2$ 를 초과함으로써 β -Sialon의 구조 내로 고용되지 못한 과잉의 Al_2O_3 가 반응분위기내의 N_2 가스에 의해 질화되어 생성된 AlN 이라고 생각된다. 이것으로 볼 때 Al_2O_3 성분은 SiC 의 구조보다는 β -Sialon의 구조에 우선적으로 고용된다는 것을 알 수 있다.

Fig 8은 출발물질 $Z(1)$ 시로에 대해 N_2 , H_2 의 비율을 100:0, 80:20, 50:50, 20:80, 0:100으로 변화시킨 조건에서 1350°C, 10시간 동안 환원탄화질화반응시켜 합성한 Sialon-SiC 분밀에 대한 X 선 회절분석 결과이다. $N_2 : H_2 = 100 : 0$ 인 경우에는 β -Sialon만이 존재하였으며 $N_2 : H_2 = 0 : 100$ 인 경우에는 SiC 와 SiC 에 고용되지 못한 $\alpha-Al_2O_3$ 와 $\delta-Al_2O_3$ 가 존재하였다. 또한 그림에서 볼 수 있는 바와 같이 $N_2 : H_2$ 의 비율을 100:0에서 0:100쪽으로 변화시킴에 따라 β -Sialon 양은 줄어들고 SiC 의 양은 현저하게 증가함을 볼 수 있다. Table 3은 Fig. 8

Table 3. Phase Constituents of Sialon-SiC Composite Powders Synthesized by Carbothermal Reduction at 1350°C for 10h under N_2/H_2 Atmosphere Variation

	N_2/H_2	Major Phase	Minor Phase
	100/0	Sialon	—
	80/20	Sialon, SiC	$\alpha-Si_3N_4$
$Z(1)$	50/50	SiC , Sialon	—
	20/80	SiC , Sialon	AlN
	0/100	SiC	$\delta-Al_2O_3$, mullite, $\alpha-Al_2O_3$

Table 4. Effect of Gas Composition on the Relative Phase Content of the Sialon-SiC Composite Powder(Si/Al=5mole ratio) Synthesized by Carbothermal Reduction at 1350°C for 10h.

Gas Composition (N_2/H_2)		100/0	80/20	50/50	20/80	0/100
Phase Content (wt %)	Sialon	100	75	40	20	0
	SiC	0	25	60	80	100

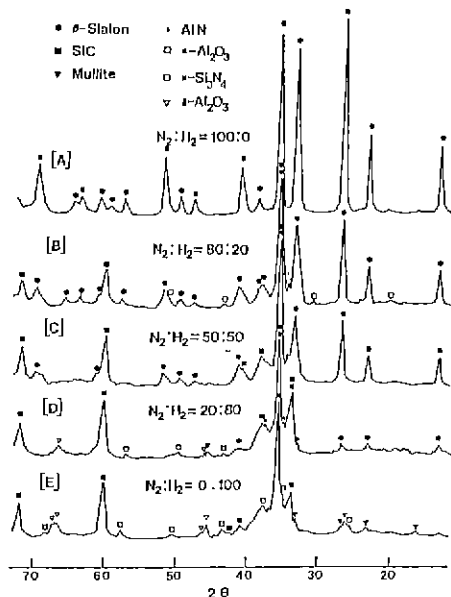


Fig. 8. X-ray diffraction patterns of the Sialon-SiC composite powders(Si/Al=5mole ratio) synthesized by carbothermal reduction at 1350°C for 10h under N_2/H_2 atmosphere variation.

의 상분석 결과로서, $N_2 : H_2 = 100 : 0$ 의 경우 β -Sialon만이 존재하고 $N_2 : H_2 = 80 : 20$ 의 경우 β -Sialon과 SiC 그리고 미량의 α - Si_3N_4 peak가 검출되었다. $N_2 : H_2 = 50 : 50$ 에서는 β -Sialon과 SiC만이 존재하였다. $N_2 : H_2 = 20 : 80$ 에서는 SiC의 양이 브다 많아졌고 β -Sialon의 양은 급속히 감소하였다. 이로 인해 β -Sialon 결정구조 내로 고용되지 못한 α - Al_2O_3 , δ - Al_2O_3 그리고 AlN의 peak가 나타났다. $N_2 : H_2 = 0 : 100$ 의 조건에서는 SiC와 소량의 α - Al_2O_3 , δ - Al_2O_3 그리고 SiO_2 와 Al_2O_3 의 반응생성물로서 mullite가 존재하였다.

Table 4에 Fig.8에 나타난 β -Sialon과 SiC의 상대적인 양을 NaCl(10wt%)를 표준물질로서 사용한 내부표준법을 이용하여 정량분석한 결과를 나타내었다. 이 결과로부터 환원탄화질화반응시 혼합가스 반응분위기가 분말생성상에 미치는 결과를 알 수 있으며 반응기체의 비율을 의도적으로 제어함으로써 원하는 비율의 β -Sialon-SiC 복합분말을 생성시킬 수 있다는 결론을 얻었다. Fig.9는 출발물질 Z(1)분말에 대하여 $N_2 : H_2$ 를 변화시키면서

1350°C에서 10시간 동안 환원탄화질화반응시켜 합성한 β -Sialon-SiC 복합분말을 관찰한 투과전자현미경 사진이다. 전체적으로 볼 때 1 μm 이하의 크기를 갖는 구형입자가 생성되었음을 볼 수 있다 특히 N_2 나 H_2 의 단독분위기로 치우친 조건에서 합성된 분말들보다는 N_2/H_2 혼합분위기에서 생성된 분말이 보다 미세함을 볼 수 있으며 그 중에서도 $N_2 : H_2 = 50 : 50$ 에서 생성된 β -Sialon-SiC 복합분말은 가장 미세하며, 또한 다른 분말들보다 균일한 크기를 가지고 있음을 볼 수 있다. Table 5에 이들 분말 중 $N_2 : H_2$ 단독분위기와 $N_2 : H_2 = 50 : 50$ 에서 합성된 분말에 대한 평균 입자크기 및 입도분포 그리고 비표면적이 대한 연구결과를 나타내었다. $N_2 : H_2 = 50 : 50$ 에서 평균 입자크기 0.13 μm 그리고 입도분포의 표준편차 15.4, 비표면적이 20.1 m^2/g 으로서 가장 미세하고 균일한 분말이 생성되었음을 알 수 있다. 이와 같이 질소나 수소의 단독분위기에서보다 질소와 수소의 혼합분위기에서 합성한 분말이 더 미세하고 균일한 것은 Sialon과 SiC의 서로 다른 종류의 결정생성핵이 거의 동시에 경쟁적으로 발생하

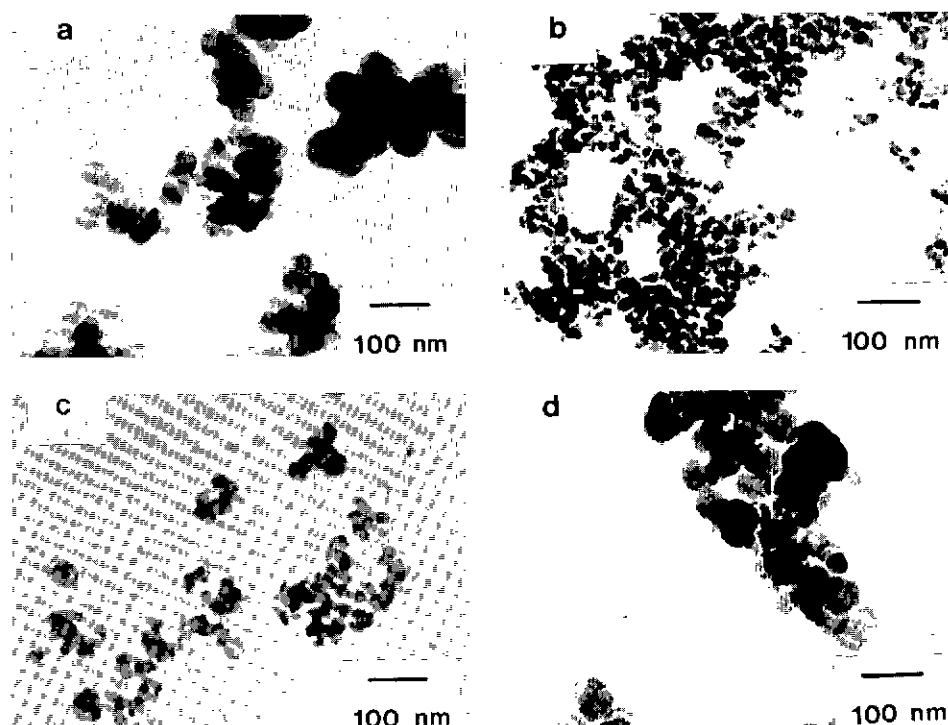


Fig.9. Transmission electron microscopic photographs of the Sialon-SiC(Si/Al=5mole ratio) composite powders synthesized by carbothermal reduction at 1350°C for 10h under N_2/H_2 atmosphere variation
(a) $N_2/H_2 = 80/20$, (b) $N_2/H_2 = 50/50$, (c) $N_2/H_2 = 20/80$, (d) $N_2/H_2 = 0/100$

Table 5. Average Mean Sizes and Specific Surface Areas of the Sialon-SiC Composite Powders (Si/Al=5mole ratio) Synthesized by Carbo-thermal Reduction at 1350°C for 10h under N₂/H₂ Atmosphere Variation.

N ₂	H ₂	Av Size (nm)	Size Range (nm)	St. Dev.	Spec. Surf. Area(m ² /g)
100 : 0	300 5	158.6~1113.9	144.3	19 7	
50 50	137.4	44 9~ 269 5	15.4	20 1	
0 . 100	369.8	165.8~1554 9	143.0	18.4	

Table 6. Average Mean Sizes and Specific Surface Areas of the Sialon-SiC Composite Powders (Si/Al=2mole ratio) Synthesized by Carbo-thermal Reduction at 1350°C for 10h under N₂/H₂=50/50 Atmosphere.

N ₂	H ₂	Av.Size (nm)	Size Range (nm)	St. Dev.	Spec. Surf. Area(m ² /g)
50 50	131.1	45.1~235 2	15 8	19 9	

여 상호간의 입자성장을 억제하기 때문이라고 생각된다. Table 6은 출발분말이 Z(2)인 분말을 N₂:H₂=50:50의 분위기에서 반응시켜 합성한 β -Sialon-SiC 복합분밀의 평균입자크기가 비표면적을 나타낸 것이다 Z(1)에 의해 산화물(Al₂O₃) 함량이 많아졌음에도 불구하고 마찬가지로 평균입자크기가 0.13μm로 극히 미세하며 입자크기가 매우 균일함을 알 수 있다. 이것으로 판단할 때 수소와 질소의 혼합분위기가 미세하고 균일한 세라믹분밀을 제조하는 데 효과적이라는 것을 알 수 있다.

4. 결 론

알록사이드와 carbon black으로 부터 합성한 Si-Al-OH-C 계 분밀을 출발원료로 하여 환원단화 및 질화반응을 동시에 수행하여 Sialon-SiC 계 복합분밀을 제조하고 다음과 같은 결과를 얻었다.

- 1) α -Si₃N₄ 분말의 평균입자크기는 1μm 정도였으며 β -Sialon 분말의 평균입자크기는 0.2~0.3μm 이었다.
- 2) Sialon-SiC 복합분밀의 조성은 합성반응분위기 기체중의 N₂/H₂의 비율에 따라 조절할 수 있었으며 질소분위기에서 수소분위기로 진행함에 따라 β -Sialon의 양은 현저하게 줄어들고 SiC의 양은 상대적으로 많아졌다.

3) 합성된 분밀들은 질소나 수소의 단독분위기보다는 질소/수소의 혼합분위기에서 합성된 경우가 보다 미세하였으며 특히 N₂:H₂=50:50에서는 합성된 Sialon-SiC 복합분밀은 평균입자크기가 0.13μm이며 매우 좁은 입도분포와 20.1m²/g의 큰 비표면적을 가졌다.

REFERENCES

1. K.H. Jack and W.I. Willson, "Ceramics Based on the Si-Al-O-N and Related Systems", *Nature (Phys. Sci.)*, **238** (80) 28~29 (1972).
2. 이홍림 역, "엔진니어링 세라믹스", 반도출판사 (1986).
3. 山内後吉, "フайнセラミックス新素材", 日刊工業新聞社 (1985).
4. M. Mitomo, N. Kuramoto, M. Tsutsumi and H. Suzuki, "The Formation of Single Phase Si-Al-O-N Ceramics", *Yogyo-Kyokai-Shi*, **86**, 526~31 (1978).
5. F.F. Lange, "Effect of Microstructure on Strength of Si₃N₄-SiC Composite System", *J. Am. Ceram. Soc.*, **56** (9) 445~50 (1973).
6. 일본공개특허공보, 昭 54-123110, 59~61 (1979).
7. 일본공개특허공보, 昭 55-80783, 469~73 (1980).
8. 일본공개특허공보, 昭 56-104779, 425~37 (1981).
9. S. Umebayashi, H. Nakamura, E. Tani, K. Kishi and K. Kobayashi, "Some Mechanical Properties of Hot-Pressed β -Sialon with SiC", *Yogyo-Kyokai-Shi*, **93** (3) 162~163 (1985).
10. K. Kishi, S. Umebayashi, E. Tani, K. Kobayashi and H. Nakamura, "Some Properties of β -Sialon and β -Sialon-SiC Composite Annealed under High N₂ Gas Pressure", *Yogyo-Kyokai-Shi*, **95** (4) 450~452 (1987).
11. H.L. Lee and Y.C. Yoo, "Synthesis of powder of the System Si-Al-O-N from Alkoxides", *J. Kor. Ceram. Soc.*, **24** (1), 23~32 (1987).
12. M. Mitomo, T. Shiogai, H. Yoshimatsu and Y. Kitami, "Preparation of Sialon Powder from Alkoxides", *Yogyo-Kyokai-Shi*, **93** (7) 364~369 (1985).

13. T. Hase and H. Suzuki, "Properties of Submicron β -SiC Prepared from Siliconization of Carbon Black", *Yogyo-Kyokai-Shi*, **86** (11) 541-46 (1978).
14. M. Hoch and K.M. Nair, "Preparation and Characterization of Ultrafine Powders of Refractory Nitrides. II. Sialon", *Am. Ceram. Soc. Bull.*, **58** (2) 191-193 (1979).
15. H. Dislich and P. Hinz, "History and Principles of the Sol-Gel Process, and Some New Multicomponent Oxide Coatings", *J. Non-Crystalline Solids*, **48**, 11-16 (1982).
16. A. Hendry and K.H. Jack, "The Preparation of Silicon Nitride from Silica", Special Ceramics 6, Ed. by P. Popper Brit. Ceram. R.A., Stoke-on Trent, 119-209 (1975).
17. Hong-Lim Lee, Chul-Hoon Pai and Joon-Hwa Moon, "Synthesis of SiC and SiC-Si₃N₄ Powder from Jecheon Quartz", *J. Kor. Ceram. 23* (1), 67-73 (1986).
18. 이홍림, 배철훈, 문준화, "제친 규석으로 부터 SiC 및 SiC-Si₃N₄계 분밀합성", *오염학회지*, **23** (1), 67 (1986).
19. Y. Tajma and W.D. Kingery, "Solid Solubility of Aluminium and Boron in Silicon Carbide", *J. Am. Ceram. Soc.*, (2) C-27~C-29 (1982).
20. M. Mitomo, Y. Inomata and M. Kumanomido, "The Effect of Doped Aluminium of Thermal Stability of 4H-SiC and 6H-SiC", *Yogyo-Kyokai-Shi*, **78** (7) 224-28 (1970).
21. Mokhov, V.G. Oding and G.F. Kholuyanov, "Comparative Study of the Electrical Properties of Three Polytypes of Silicon Carbide", *Sov. Phys.-Solid State* (Engl. Transl.) **12**, 2356-59 (1971)